

СИСТЕМА МАТРИЧНО-ВЕКТОРНЫХ УРАВНЕНИЙ В МНОГОКОНФИГУРАЦИОННОМ МЕТОДЕ ХАРТРИ-ФОКА

М. С. Лицарев, О. В. Иванов

В рамках многоконфигурационной процедуры Хартри–Фока предложен метод нахождения радиальных частей одноэлектронных функций, входящих в состав многоэлектронного базиса. Решение уравнений Хартри–Фока сведено к решению системы матрично-векторных уравнений, сформулированы правила построения этих уравнений и найдена устойчивая численная схема их решения.

Ключевые слова: многоконфигурационный метод Хартри–Фока матрично-векторного уравнения.

Многоконфигурационный метод Хартри–Фока (МКХФ-метод) применяется во многих областях физики конденсированного состояния вещества, квантовой химии, атомной спектроскопии, как правило в тех случаях, когда необходимо достичь высокой точности расчетов электронной структуры атомов или ионов.

Являясь вариационным, МКХФ-метод требует решения системы интегро-дифференциальных уравнений. Применение конечно-разностных схем [1, 2] не может гарантировать в общем случае сходимости решения на отдельном шаге итерационного МКХФ-процесса, а получаемые таким способом волновые функции не обладают заданной степенью гладкости, что необходимо для ряда твердотельных приложений (например, при построении псевдопотенциалов [4, 5]. Существующие методы решения уравнений Хартри–Фока, основанные на разложении по наборам базисных функций [6] (в которых, как правило, используются слэтеровские или гауссовы орбитали) не всегда позволяют решить уравнения Хартри–Фока–Рутана [7] с заданной точностью.

Получение МКХФ-уравнений при расширении многоэлектронного базиса и, соответственно, при увеличении числа одноэлектронных состояний, которые необходимо определять, является отдельной, и при том весьма трудоемкой задачей. В случае метода Хартри–Фока, вывод уравнений осуществляется аналитически [1–3]. МКХФ-уравнения

строится на основе уравнений Хартри–Фока по усложненным правилам [8], которые с алгоритмической точки зрения крайне сложно формализовать и обобщить для случая произвольного многоэлектронного базиса.

Поэтому представляет практический интерес построить такую вычислительную схему, в рамках которой нахождение решения МКХФ-уравнений гарантировалось бы определенными математическими критериями, которая обладала бы простотой реализации и легко обобщалась бы на случай произвольного расширения многоэлектронного базиса.

В данной работе для определения одноэлектронных состояний, входящих в многоэлектронный МКХФ-базис, получена система матрично-векторных уравнений и показано, что она эквивалентна уравнениям МКХФ-метода. Для этой системы разработаны алгоритмы построения матрично-векторных уравнений, найден итерационный быстроходящийся метод решения для случая произвольного многоэлектронного базиса. Приводятся примеры расчетов для различных атомов.

Постановка задачи. Рассмотрим нерелятивистское уравнение Шредингера для атома с зарядом Z и числом электронов N , которое в атомных единицах имеет вид

$$\left[-\frac{1}{2} \sum_{i=1}^N \nabla_i^2 - Z \sum_{i=1}^N \frac{1}{r_i} + \sum_{i < j}^N \frac{1}{r_{ij}} \right] \Psi(q) = E \Psi(q). \quad (1)$$

Здесь \mathbf{r}_i – радиус-вектор i -го электрона, $r_i = |\mathbf{r}_i|$, $r_{ij} = |\mathbf{r}_i - \mathbf{r}_j|$, $q = \{q_1, q_2, \dots, q_N\}$. Через q_i обозначена совокупность радиус-вектора \mathbf{r}_i и спиновой переменной σ_i , которую, несмотря на то, что уравнение (1) явным образом не зависит от спина, приходится вводить вследствие принципа Паули [9].

Обычно в МКХФ-методе решение уравнения (1) ищется в виде конечного разложения по многоэлектронному CSF-базису (configuration state functions) [1]

$$\Psi(q) = \sum_{j=1}^{j_{\max}} C_j \Phi_j(q). \quad (2)$$

Каждый его элемент $\Phi_j(q)$ соответствует определенной электронной конфигурации

$$[(n_1 l_1)^{w_1} (n_2 l_2)^{w_2} \dots (n_v l_v)^{w_v}]_j \quad (3)$$

с числом оболочек v и числом электронов w_i на i -ой оболочке, $\sum_{i=1}^v w_i = N$, и представляет собой линейную комбинацию слетеровских детерминантов

$$\Phi_j(q) = \sum_{k=1}^{K_j} A_k^j | \det \alpha_1^{k,j} \dots \alpha_N^{k,j} \rangle. \quad (4)$$

Детерминант Слэтера здесь и далее обозначен через

$$|det \alpha_1 \dots \alpha_N\rangle = \frac{1}{\sqrt{N!}} \sum_{\tau} \varepsilon_{\tau} \prod_{i=1}^N \psi_{\alpha_{\tau i}}(q_i), \quad (5)$$

суммирование ведется по всем возможным перестановкам τ индексов, $\varepsilon_{\tau} = \pm 1$, если перестановка τ четная или нечетная соответственно.

Одноэлектронное состояние

$$\psi_{\alpha}(q) = \frac{1}{r} P_{nl}(r) Y_{lm_l}(\theta, \varphi) \chi_{m_s}(\sigma) \quad (6)$$

в обозначениях Дирака записывается в виде

$$|\alpha\rangle = |nlm_lm_s\rangle. \quad (7)$$

Здесь n – главное квантовое число, l – орбитальный угловой момент (азимутальное квантовое число), m_l – магнитное квантовое число, m_s – проекция спина на выделенную ось z . В выражении (6) переменные (r, θ, ϕ) обозначают сферические координаты, $Y_{lm_l}(\theta, \varphi)$ – сферическая функция [10], $\chi_{m_s}(\sigma)$ – спиновая часть одноэлектронного состояния.

В данной работе предполагаются известными [11] число j_{\max} , входящее в формулу (2), коэффициенты A_k^j и наборы квантовых чисел $\alpha_1^{j,k}, \dots, \alpha_N^{j,k}$ одноэлектронных состояний, формирующих слэтеровские детерминанты в выражении (4); $\forall j \in [1, j_{\max}]$, $\forall k \in [1, K_j]$. Кроме этого, предполагается, что неизвестные коэффициенты C_j разложения (2) определяются в рамках самосогласованной МКХФ-процедуры стандартным способом [1].

Таким образом, необходимо определить все неизвестные радиальные функции $P_{nl}(r)$ с различными nl , входящие в базис (4). При этом, так как волновые функции (6) ортонормированы, на радиальные функции $P_{nl}(r)$ налагаются дополнительные условия ортонормировки

$$\int_0^{\infty} P_{nl}(r) P_{n'l'}(r) dr = \delta_{nn'}, \quad l = 0, 1 \dots l_{\max}. \quad (8)$$

Одночастичный базис. Будем искать одночастичные радиальные функции $P_{nl}(r)$ в виде подкласса функций, представимых в виде конечного разложения

$$P_{nl}(r) = \sum_{k=0}^{K_{\max}^l} b_k^{nl} Q_{kl}(r) \quad (9)$$

по ортонормированному базису

$$Q_{kl}(r) = \sqrt{\frac{k!}{(k+2l+2)!}} r^{l+1} e^{-\frac{r}{2}} L_k^{2l+2}(r). \quad (10)$$

Здесь $L_n^\alpha(x)$ – многочлены Чебышева–Лагерра [10, 12], $l \in [0, l_{\max}]$. Базис (9) применяется при решении различных задач математической физики [12].

Физический смысл радиальных функций $P_{nl}(r)$ состоит в том, что они соответствуют распределению электронной плотности в атоме, которая экспоненциально спадает при увеличении радиуса r [9]. Поэтому при проведении вычислений там, где функции $P_{nl}(r)$ необходимо использовать в явном виде, область $r \in [0, \infty)$ заменяется областью $r \in [0, r_{\max}]$.

Вариационные соотношения. В выражение для полной энергии $E = \langle \Psi | H | \Psi \rangle$ уравнения (1) в соответствие с общими правилами вычисления матричных элементов многоэлектронного нерелятивистского гамильтонiana между слэтеровскими детерминантами [3, 6] входят одноэлектронные

$$I_{ab} = \int_0^\infty P_{n_a l}(r) \hat{D}_l P_{n_b l}(r) dr, \quad \hat{D}_l = -\frac{d^2}{2dr^2} + \frac{l(l+1)}{2r^2} - \frac{Z}{r}, \quad (11)$$

где $l_a = l_b = l$ за счет произведения сферических гармоник, $a = \{nl\}$, и двухэлектронные интегралы

$$R_{abcd}^k = \iint P_a(r_1) P_b(r_2) P_c(r_1) P_d(r_2) \frac{r_<^k}{r_>^{k+1}} dr_2 dr_1. \quad (12)$$

Последние записываются как

$$R_{abcd}^k = \int_0^\infty P_a(r_1) P_c(r_1) \frac{1}{r_1} Y_{bd}^k(r_1) dr_1 = \int_0^\infty P_b(r_2) P_d(r_2) \frac{1}{r_2} Y_{ac}^k(r_2) dr_2, \quad (13)$$

с помощью обозначения

$$Y_{ab}^k(r_1) = r_1 \int \frac{r_<^k}{r_>^{k+1}} P_{n_a l_a}(r_2) P_{n_b l_b}(r_2) dr_2, \quad (14)$$

которое после элементарных упрощений принимает вид

$$Y_{ab}^k(r_1) = \int_0^{r_1} \left(\frac{r_2}{r_1}\right)^k P_{n_a l_a}(r_2) P_{n_b l_b}(r_2) dr_2 + \int_{r_1}^\infty \left(\frac{r_1}{r_2}\right)^{k+1} P_{n_a l_a}(r_2) P_{n_b l_b}(r_2) dr_2. \quad (15)$$

Подставляя разложение (9) в подынтегральные выражения (11) и (12) и производя варьирование по коэффициентам $b_{k_0}^{n_{i_0} l_0}$, получаем

$$\frac{\partial I_{ab} [\{b_k^{nl}\}]}{\partial b_{k_0}^{n_{i_0} l_0}} = \delta_l^{l_0} \sum_{k=1}^{K_{\max}^l} \xi_{kk_0}^l (\delta_{n_a}^{n_{i_0}} b_k^{n_b l} + \delta_{n_b}^{n_{i_0}} b_k^{n_a l}), \quad (16)$$

$$\begin{aligned} \frac{\partial R_{abcd}^k [\{b_k^{nl}\}]}{\partial b_{k_0}^{n_0 l_0}} &= \delta_{l_a}^{l_0} \delta_{n_a}^{n_0} \sum_{k_1=1}^{K_{\max}^{l_a}} \eta_{k_0 k_1}^{l_a l_c, k, bd} b_{k_1}^{n_c l_c} + \delta_{l_b}^{l_0} \delta_{n_b}^{n_0} \sum_{k_1=1}^{K_{\max}^{l_b}} \eta_{k_0 k_1}^{l_b l_d, k, ac} b_{k_1}^{n_d l_d} + \\ &+ \delta_{l_c}^{l_0} \delta_{n_c}^{n_0} \sum_{k_1=1}^{K_{\max}^{l_c}} \eta_{k_0 k_1}^{l_c l_a, k, bd} b_{k_1}^{n_a l_a} + \delta_{l_d}^{l_0} \delta_{n_d}^{n_0} \sum_{k_1=1}^{K_{\max}^{l_d}} \eta_{k_0 k_1}^{l_d l_b, k, ac} b_{k_1}^{n_b l_b}. \end{aligned} \quad (17)$$

Здесь

$$\xi_{k_1 k_2}^l = \int_0^\infty Q_{k_1 l}(r) \hat{D}_l Q_{k_2 l}(r) dr = \xi_{k_2 k_1}^l, \quad (18)$$

$$\eta_{k_1 k_2}^{l_1 l_2, k, ab} = \int Q_{k_1 l_1}(r) Q_{k_2 l_2}(r) \frac{1}{r} Y_{ab}^k(r) dr, \quad (19)$$

при этом

$$\eta_{k_1 k_2}^{l_1 l_2, k, ab} = \eta_{k_2 k_1}^{l_2 l_1, k, ab}, \quad \text{но, вообще говоря, } \eta_{k_1 k_2}^{l_1 l_2, k, ab} \neq \eta_{k_2 k_1}^{l_1 l_2, k, ab}. \quad (20)$$

Входящее в функцию Лагранжа условие ортонормировки (8)

$$G [\{b_k^{nl}\}] = \sum_{l=0}^{l_{\max}} \sum_{\substack{i=1 \\ j=i}}^{N_{\max}^l} \lambda_{ij}^l \left(\sum_{k_1=1}^{K_{\max}^l} b_{k_1}^{n_i l} b_{k_1}^{n_j l} - \delta_{ij} \right). \quad (21)$$

при варьировании по $b_{k_0}^{n_{i_0} l_0}$ дает следующий вклад в уравнение на коэффициенты b .

$$\frac{\partial G [\{b_k^{nl}\}]}{\partial b_{k_0}^{n_{i_0} l_0}} = \sum_{s=1}^{N_{\max}^{l_0}} \lambda_{s i_0}^{l_0} (1 + \delta_{i_0}^s) b_{k_0}^{n_s l_0}. \quad (22)$$

Атом гелия в состоянии 1S . Рассмотрим, в качестве примера, систему матрично-векторных уравнений для атома гелия в основном состоянии в базисе, состоящем из четырех конфигураций $\{1s^2, 1s2s, 2s^2, 2p^2\}$. В этом случае существует четыре базисных состояния (4)

$$\Phi_1(q_1, q_2) = |det 1\ 0\ 0\downarrow, 1\ 0\ 0\uparrow\rangle, \quad (23)$$

$$\Phi_2(q_1, q_2) = -\frac{1}{\sqrt{2}} |det 1\ 0\ 0\downarrow, 2\ 0\ 0\uparrow\rangle + \frac{1}{\sqrt{2}} |det 1\ 0\ 0\uparrow, 2\ 0\ 0\downarrow\rangle, \quad (24)$$

$$\Phi_3(q_1, q_2) = |det 2\ 0\ 0\downarrow, 2\ 0\ 0\uparrow\rangle, \quad (25)$$

$$\Phi_4(q_1, q_2) = -\frac{1}{\sqrt{3}} |det 21-1\downarrow, 211\uparrow\rangle + \frac{1}{\sqrt{3}} |det 21-1\uparrow, 211\downarrow\rangle + \frac{1}{\sqrt{3}} |det 210\downarrow, 210\uparrow\rangle. \quad (26)$$

Полная энергия системы имеет вид

$$\begin{aligned}
 E = & (2C_1^2 + C_2^2)I_{10,10} + (2C_3^2 + C_2^2)I_{20,20} - 2\sqrt{2}(C_1C_2 + C_2C_3)I_{10,20} + 2C_4^2I_{21,21} + \\
 & + C_1^2R_{10,10,10,10}^0 + C_3^2R_{20,20,20,20}^0 - 2\sqrt{2}C_1C_2R_{10,10,10,20}^0 - 2\sqrt{2}C_2C_3R_{10,20,20,20}^0 + \\
 & + C_2^2R_{10,20,10,20}^0 + (C_2^2 + 2C_1C_3)R_{10,10,20,20}^0 + C_4^2R_{21,21,21,21}^0 + \frac{2}{5}C_4^2R_{21,21,21,21}^2 + \\
 & + \frac{2}{\sqrt{3}}C_1C_4R_{10,10,21,21}^1 - \frac{2\sqrt{2}}{\sqrt{3}}C_2C_4R_{10,20,21,21}^1 + \frac{2}{\sqrt{3}}C_3C_4R_{20,20,21,21}^1.
 \end{aligned} \tag{27}$$

Ей соответствует система матрично-векторных уравнений

$$A_{11}\mathbf{b}^{10} + A_{12}\mathbf{b}^{20} + A_{13}\mathbf{b}^{21} = -2\lambda_{11}^0\mathbf{b}^{10} - \lambda_{12}^0\mathbf{b}^{20}, \tag{28}$$

$$A_{21}\mathbf{b}^{10} + A_{22}\mathbf{b}^{20} + A_{23}\mathbf{b}^{21} = -\lambda_{12}^0\mathbf{b}^{10} - 2\lambda_{22}^0\mathbf{b}^{20}, \tag{29}$$

$$A_{31}\mathbf{b}^{10} + A_{32}\mathbf{b}^{20} + A_{33}\mathbf{b}^{21} = -2\lambda_{11}^1\mathbf{b}^{21}, \tag{30}$$

где матрицы, стоящие перед векторами \mathbf{b}^{nl} , равны

$$(A_{11})_{ij} = 2(2C_1^2 + C_2^2)\xi_{ij}^0 + 4C_1^2\eta_{ij}^{00,0,1010} - 4\sqrt{2}C_1C_2\eta_{ij}^{00,0,1020} + 2C_2^2\eta_{ij}^{00,0,2020}, \tag{31}$$

$$\begin{aligned}
 (A_{12})_{ij} = & -2\sqrt{2}(C_1C_2 + C_2C_3)\xi_{ij}^0 - 2\sqrt{2}C_1C_2\eta_{ij}^{00,0,1010} - \\
 & - 2\sqrt{2}C_2C_3\eta_{ij}^{00,0,2020} + 2(C_2^2 + 2C_1C_3)\eta_{ij}^{00,0,1020},
 \end{aligned} \tag{32}$$

$$(A_{13})_{ij} = \frac{4}{\sqrt{3}}C_1C_4\eta_{ij}^{01,1,1021} - \frac{2\sqrt{2}}{\sqrt{3}}C_2C_4\eta_{ij}^{01,1,2021}, \tag{33}$$

$$(A_{22})_{ij} = 2(2C_3^2 + C_2^2)\xi_{ij}^0 + 4C_3^2\eta_{ij}^{00,0,2020} - 4\sqrt{2}C_2C_3\eta_{ij}^{00,0,1020} + 2C_2^2\eta_{ij}^{00,0,1010}, \tag{34}$$

$$(A_{23})_{ij} = -\frac{2\sqrt{2}}{\sqrt{3}}C_2C_4\eta_{ij}^{01,1,1021} + \frac{4}{\sqrt{3}}C_3C_4\eta_{ij}^{01,1,2021}, \tag{35}$$

$$(A_{33})_{ij} = 4C_4^2\xi_{ij}^1 + 4C_4^2\eta_{ij}^{11,0,2121} + \frac{8}{5}C_4^2\eta_{ij}^{11,2,2121}. \tag{36}$$

При этом $A_{12} = A_{21}$, $(A_{13})^T = A_{31}$ и $(A_{23})^T = A_{32}$. Кроме этого необходимо понимать, что размерность $K_{\max}^{l_0}$ векторов \mathbf{b}^{10} и \mathbf{b}^{20} , вообще говоря, отличается от размерности $K_{\max}^{l_1}$ вектора \mathbf{b}^{21} , то есть матрицы A_{13} и A_{23} – прямоугольные.

Решение системы матрично-векторных уравнений. Рассмотрим систему матрично-векторных уравнений, записанную в общем виде

$$\sum_{j=1}^m A_{ij} \mathbf{x}_j = \sum_{k=k_{\min}(i)}^{k_{\max}(i)} \lambda_{v(i)k}^{l_i} \mathbf{x}_k, \quad k_{\min}(i) \leq v(i) \leq k_{\max}(i), \quad i = 1, 2 \dots m. \quad (37)$$

Векторы \mathbf{x}_j , число которых предполагается равным m , представляют собой коэффициенты разложения атомных волновых функций (9): $\mathbf{x}_j \leftrightarrow \mathbf{b}^{nl}$ (в примере данной работы $\mathbf{x}_1 \leftrightarrow \mathbf{b}^{10}$, $\mathbf{x}_2 \leftrightarrow \mathbf{b}^{20}$, $\mathbf{x}_3 \leftrightarrow \mathbf{b}^{21}$) и считаются упорядоченными по l – орбитальному квантовому числу, так что $(\mathbf{x}_i, \mathbf{x}_j) = \delta_{ij}$ и $l_i = l_j = \text{const}$, $\forall i, j \in [k_{\min}(i), k_{\max}(i)]$.

Система (37) представляет собой задачу на собственные значения в некотором обобщенном смысле. А именно, требуется найти такие попарно для каждого l ортонормированные векторы \mathbf{x}_j и отвечающие им обобщенные собственные числа $\lambda_{ij}^{l_i}$, чтобы выполнялись все равенства системы (37). Практически, размерности векторов \mathbf{x}_j равны приблизительно 100. Это означает, что необходимо решать систему уравнений с числом переменных от 100 до 1000, что осуществимо только численно, с использованием ЭВМ.

Будем искать решение с помощью итерационного алгоритма, который построим следующим образом. Введем величины

$$\mathbf{q}_i = \sum_{j=1}^n A_{ij} \mathbf{x}_j, \quad (38)$$

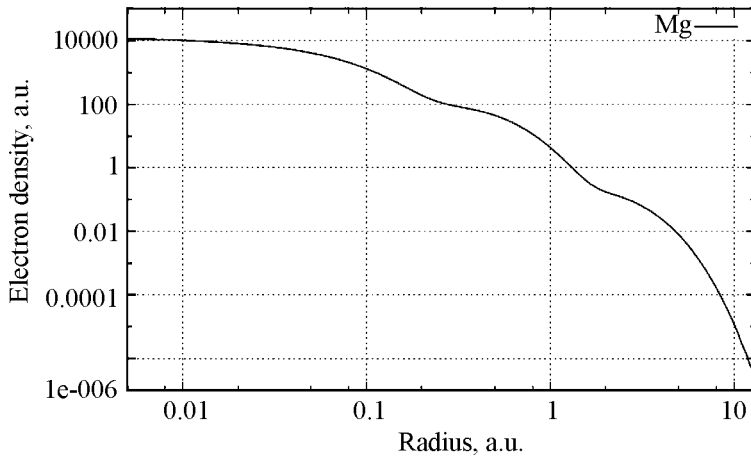
$$\mathbf{d}\mathbf{q}_i = \mathbf{q}_i - \sum_{k=k_{\min}(i)}^{k_{\max}(i)} (\mathbf{q}_i, \mathbf{x}_k) \mathbf{x}_k. \quad (39)$$

Геометрический смысл невязки $\mathbf{d}\mathbf{q}_i$ заключается в том, что она представляет собой вектор, ортогональный подпространству $\text{Span}(\mathbf{x}_j)$, определяемому базисом, состоящим из векторов \mathbf{x}_j , $j \in [k_{\min}(i), k_{\max}(i)]$. Тогда, если набор $\{\mathbf{x}_j\}_{j=1}^m$ – решение, то каждый вектор \mathbf{q}_i лежит только в пространстве $\text{Span}(\mathbf{x}_j)$, как это следует из (37), и, следовательно, $\mathbf{d}\mathbf{q}_i = 0$. Таким образом, нужно минимизировать ортогональную невязку (39)

$$\mathbf{d}\mathbf{q}_i \rightarrow \min_{\{\mathbf{x}_j\}_{j=1}^m}, \quad i = 1, 2, \dots, m. \quad (40)$$

Или, что то же самое, найти итерационное решение уравнения

$$\mathbf{d}\mathbf{q}_i (\{\mathbf{x}_j\}_{j=1}^m) = 0, \quad i = 1, 2, \dots, m. \quad (41)$$

Рис. 1: Электронная плотность атома Mg .

Задачи типа (41) решаются следующим образом [13, 14].

Пусть имеется некоторое начальное приближение $\{\mathbf{x}_j^0\}_{j=1}^m$. Будем вычислять последующее приближение по правилу

$$\mathbf{z}_j^{k+1} = \mathbf{x}_j^k - \alpha_j \mathbf{d}\mathbf{q}_j^k, \quad \mathbf{x}_j^{k+1} = \mathbf{z}_j^{k+1} / |\mathbf{z}_j^{k+1}|, \quad j = 1, 2, \dots, m, \quad (42)$$

пока процесс не сойдется. Здесь α_j - некоторая малая постоянная матрица с доминирующими диагональными элементами ($\sim 10^{-2} \div 10^{-5}$), которая для одних и тех же l одинакова,

$$|\mathbf{x}| = \left(\sum_{i=1}^{K_{\max}^l} x_i^2 \right)^{\frac{1}{2}}. \quad (43)$$

В результате, получающиеся по схеме (42) решения \mathbf{x}_i попарно для каждого l ортонормированы, а отвечающие им числа $\lambda_{ij}^{l_i}$, как это следует из вариационного принципа, - симметричны по i, j .

В качестве начальных значений $\{\mathbf{x}_j^0\}_{j=1}^m$ следует выбирать $(n_j - l_j - 1)$ -ые собственные векторы диагональных матриц A_{jj} (считаем, что нижнее собственное значение индексируется с нуля).

Увеличение скорости сходимости решения следует проводить в соответствие с указаниями работы [15], в которой показано, что в качестве матрицы α_j в уравнениях (42) следует брать диагональную матрицу, элементы которой равны обратным матричным элементам оператора кинетической энергии, вычисленным по базисным функциям (9). Это позволяет подавить неравномерно растущие компоненты итерируемых векторов, и таким образом ускорить сходимость процесса приблизительно в 10 раз.

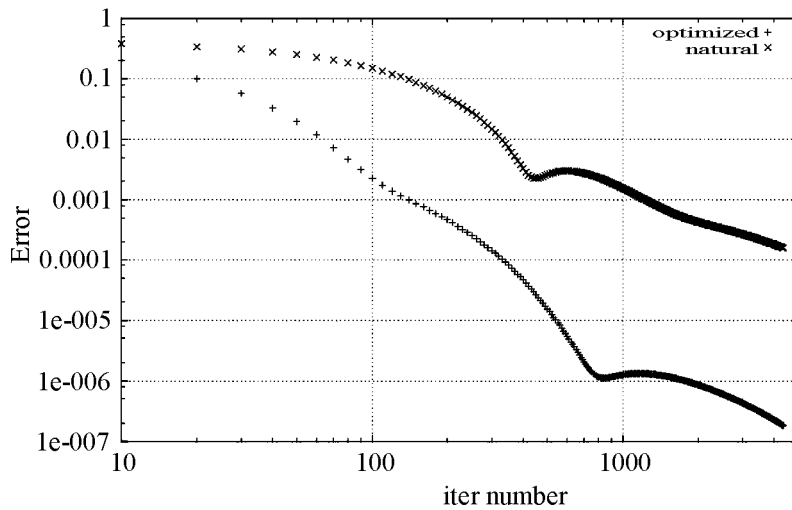


Рис. 2: Зависимость величины невязки $|dq|$ от номера итерации для атома Mg.

Кроме этого, применение метода прямого обращения итерированного подпространства (direct inversion of iterative subspace – DIIS), изложенного в работе [16], ускоряет сходимость итерационного процесса приблизительно в \sqrt{n} раз, где n – число итераций до ускорения. На рис. 1 и рис. 2 представлены примеры расчетов для атома Mg.

Работа выполнена при частичной финансовой поддержке научных программ Президиума РАН, ОФН РАН и РФФИ (грант N08-02-00757). Авторы выражают искреннюю благодарность Е. Г. Максимову за ценные советы и замечания в ходе подготовки статьи.

Л И Т Е Р А Т У Р А

- [1] C. Froese Fisher, T. Brage, and P. Jonsson, *Computational atomic structure; An MCHF approach.* (Institute of phisics publishing, Bristol and Philadelphia 2003).
- [2] Д. Хартри *Расчеты атомных структур.* (Изд. иностранной литературы, Москва, 1960).
- [3] А. Бете, *Квантовая механика.* (Мир, Москва, 1965).
- [4] У. Харрисон, *Теория твердого тела.* (Мир, Москва, 1972).
- [5] C. Hartwigsen, S. Goedecker, and J. Hutter, Phys. Rev. B **58**, 3641 (1998).
- [6] С. Фудзинага, *Метод молекулярных орбиталей.* (Мир, Москва, 1983).
- [7] C. C. Roothan, Rev. Mod. Phys., **23**, 69 (1951).
- [8] G. Gaigalas and C. Froese Fisher, Comp. Phys. Comm. **98**, 255 (1996).
- [9] Л. Д. Ландау, Е. М. Лифшиц, *Квантовая механика, том III.* (Физматлит, Москва, 2001).

- [10] А.Ф. Никифоров, В.Б. Уваров, *Основы теории специальных функций*. (Наука, Москва, 1974).
- [11] М.С. Лицарев, О.В. Иванов, ЖЭТФ **138**, 28 (2010).
- [12] В.Я. Арсенин, *Математическая физика. Основные уравнения и специальные функции*. (Наука, Москва, 1966).
- [13] Дж. Трауб, *Итерационные методы решения уравнений*. (Мир, Москва, 1985).
- [14] В.М. Вержбицкий, *Численные методы. Линейная алгебра и нелинейные уравнения*. (Высшая школа, Москва, 2000).
- [15] M. C. Payne et al., Rev. of Mod. Phys. **64**, 1045 (1992).
- [16] P. Pulay, Chem. Phys. Lett. **73**, 393 (1980).

Поступила в редакцию 19 июля 2010 г.